

## II-17 長期・短期の流出率に関する考察

木賀源利光公団 正員 亀尾佳宏  
山梨大学工学部 正員 砂田義吾

### 1.はじめに

従来、流出率もしくは損失率は長期・短期流出について個別に定義され、たゞの目的に応じて経験的に用いられてきた。いま、新たな試みとして流出の成分を特に考慮することなく、対象期間内での降雨量に対する全流出量の比を流出率として定義してみる。この場合流出成分に関する検討の必要性が軽減される代りにその期間のとり方方が問題となるが、敢えてこの定義に基づいて考察する。すなむち、各種の期間、長期・中期・短期(期間内の降雨の生起時期などを規定する必要があるが...)について一貫した損失の構造と調べようとするものである。この種の検討はやがて逆に、中間流・地下水等と含む流出の遅れの機構解明にも迫ることができるのではないかと考えている。

### 2.水收支

ある期間における水收支は、 $R = Q + E + \Delta S$  ... (1)

で示される。ここに、R: 降雨量、Q: 流出量、E: 蒸発散量、 $\Delta S$ : 流域貯留量の変化であり、各種遮断はEまたは $\Delta S$ に含め、流域外漏水・浸入は無視する。期間のとり方で各項の重みが異なり、例えば長期で  $\Delta S/R \approx 0$ 、短期で  $E/R \approx 0$  でありこれは従来の長・短期別の流出率の違いの根柢でもある。 $L = E + \Delta S$  として損失量と呼ぶ。資料の整備されることは神流川流域において年間の  $\Delta S \approx 0$  として蒸発散量を決め、蒸発散能式による値と比較して示せば Fig. 1 のようになる。特にHamon 式によれば、年に関係なく蒸発比がほぼ 0.6 のとき

Fig. 2 のようになり大略の蒸発散量の推定が可能であることが判る。(無降雨時に蒸発比が指數遞減するとする場合についても比較検討した。)

### 3.期間による損失の構造

#### 変化

蒸発散量の中・短期との

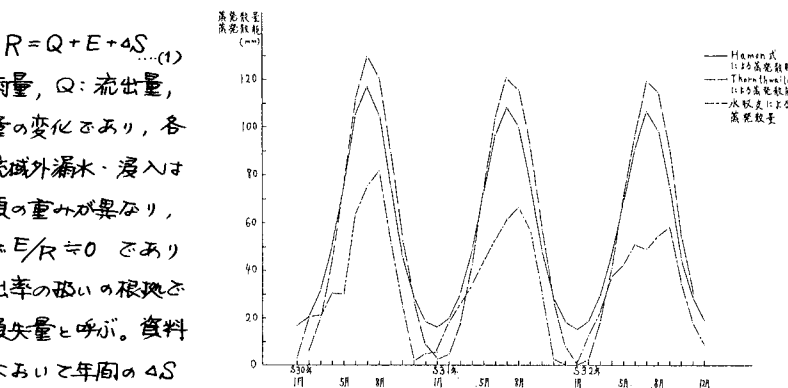


Fig. 1 水收支による蒸発散量と蒸発散能(3ヶ月移動平均)

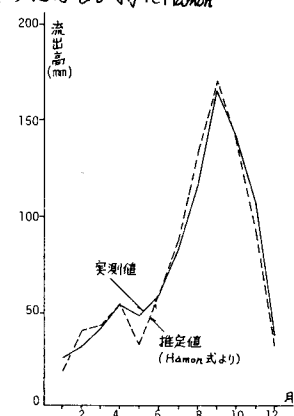


Fig. 2 流出高(5.30, 3ヶ月移動平均)

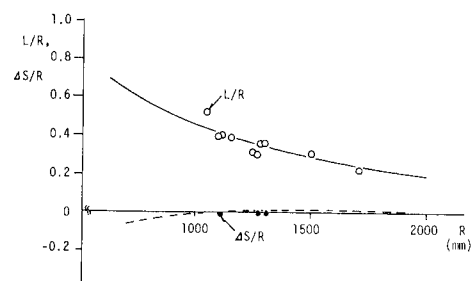


Fig. 3 損失率 (a) 期間: 1年

精度な見積りは複数階層では容易ではないので、オト近似として先の蒸発比と Hamon 式とにより日蒸発散量を決めた。流域の初期貯留量の影響と除くために初期流量の逆減曲線と用いて差し引き、年の直つ同一季節の資料を用いて蒸発散の効果の違う 5 月、8 月について前述のように成分を離れて解析した。期間を 1 年、3 ヶ月、1 ヶ月、10 日、7 日、5 日とし調べた損失率の結果の一例を示すと Fig. 3 (a)~(c) のようになる。R → N1

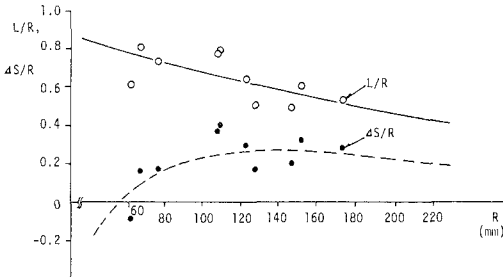


Fig. 3 損失率 (b) 期間:1ヶ月(時期:5月)

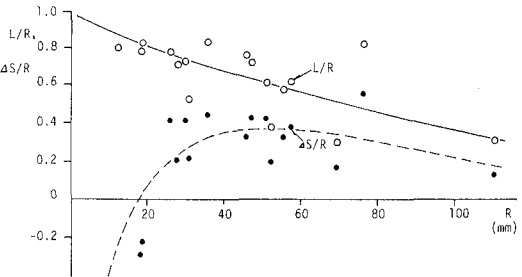


Fig. 3 損失率 (c) 期間:10日(時期:5月)

で  $\Delta S/R < 0$  となるのは蒸発散のために降雨による補給以上に流域貯留量が減少していることを示す。期間が短くなると E の推定がより不十分なこともあります。バラツキが大きくなるが、 $R \rightarrow \infty$  で  $\Delta S/R > 0$  の傾向にあり、流域には貯留される限界のあることも判ります。

#### 4. 流出遅れについての試算

線型の応答係数を  $h_i(\tau)$  とし、時間スケールを拡大して時間間隔と対象期間 ( $T_i$ ) にヒリ、平均降雨強度  $r_i$  に対する対象期間以後に流出する量(強度)  $g_i(\tau)$  は、 $\tau = i \cdot T_i$  として離散的に示せば、

$$g_i(i \cdot T_i) = r_i T_i h_i(i \cdot T_i)$$

この総量は、 $T_i$  での流域貯留量の変化  $\Delta S_i$  に等しい。すなわち、

$$\Delta S_i = r_i T_i^2 \sum_{k=1}^{n_i} h_i(k \cdot T_i) \quad \dots (2)$$

期間  $T_2 = 2 \cdot T_1$  における同一降雨強度もつ場合には、同様に、

$$\Delta S_2 = r_1 T_1^2 [h_1(T_1) + 2h_1(2T_1) + 2h_1(3T_1) + \dots] \quad \dots (3)$$

式(2), (3) より次式を得る。

$$h_i(T_1) = \frac{1}{T_1} \left( \frac{\Delta S_1}{r_1 T_1} - \frac{\Delta S_2}{2 r_1 T_1} \right) = \frac{1}{T_1} \left( \frac{\Delta S_1}{R_1} - \frac{\Delta S_2}{R_2} \right) \quad \dots (4)$$

同一規模の平均的な降雨強度が継続するとして、例えば10日間で 40 mm なら 1ヶ月(120 mm) のようになると、Fig. 3 を用いて  $h_i(\tau)$  を求めれば、Fig. 4 のようになる。 $(T_3 = 3T_1$  のような場合は若干の工夫が必要)  $T = 10$  日までの流出の扱いは降雨が期間前半のものであり、それ以降の月単位の扱いとやや異なるといふため  $\tau = 20$  日で他の場合と傾向がずれといふ。この点を上げるとこれまでの 3 種の降雨規模に対する  $h_i(\tau)$  は直線的な減少を示す。Fig. 4 (a), (b) より 8 月は多量の降雨にもかかわらず活発な蒸発散のために流出が長く続かない傾向にあることが知れ、このことは同一の蒸発散のレベルにある 5 月のグレードで少雨(0印)の場合流出遅れが小さくなる傾向と符合する。

#### 5. まとめに

蒸発散量の推定などの精度の低いまま粗い解析を進めましたが比較的明瞭な結果が得られこの種の検討の枠組みが得られたと考えています。ここで定義による流出率は期間内降雨量の規定のしがたにも関係するため、一般化には必ず若干の議論を要します。蒸発散量の推定を向上させながら、多くの資料による解析を重ねたい。

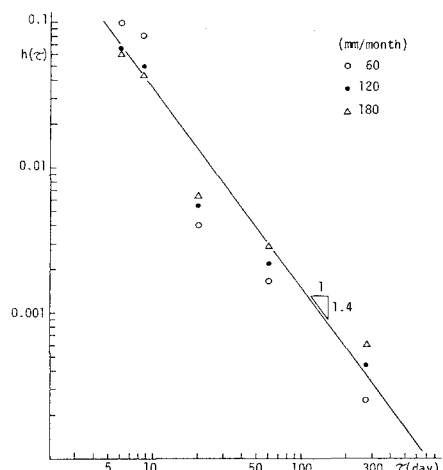


Fig. 4 応答係数 (a) 時期:5月

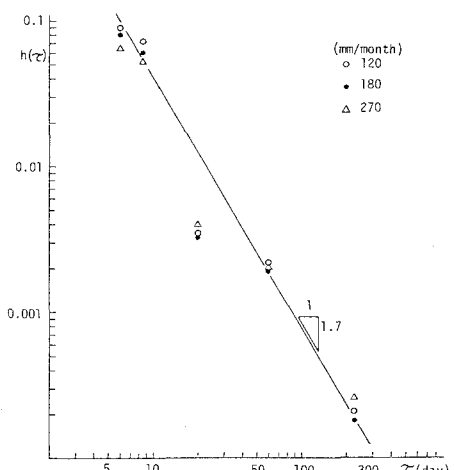


Fig. 4 応答係数 (b) 時期:8月